



NetWorks Sp. z o.o.
Laboratorium Badań Środowiskowych
ul. Józefa Piusa Dziekońskiego 3
00-728 Warszawa
e-mail: [L \[REDACTED\]](#)



AB 419

S P R A W O Z D A N I E 7800/2025/OS
Z POMIARÓW PÓL ELEKTROMAGNETYCZNYCH
WYKONANYCH DLA POTRZEB OCHRONY ŚRODOWISKA

Badany obiekt: Instalacja radiokomunikacyjna T-Mobile Polska S.A.

Numer i nazwa: 50693 (35693N!) KRY_RADLIN_KORFANTEGO

Adres: RADLIN, WOJCIECHA KORFANTEGO 4, Powiat wodzisławski, WOJ. ŚLĄSKIE

Data wykonania pomiarów: 2025-10-22

Sprawozdanie z badań bez pisemnej zgody laboratorium nie może być powielane inaczej niż w całości.

Wynik przedstawione w niniejszym sprawozdaniu odnoszą się wyłącznie do badanego obiektu i do warunków i konfiguracji urządzeń w dniu wykonywania pomiarów.

1. Właściciel badanego obiektu:

T-Mobile Polska S.A., ul. Marynarska 12, 02-674 Warszawa

2. Zleceniodawca:

T-Mobile Polska S.A., ul. Marynarska 12, 02-674 Warszawa

3. Przedstawiciel zleceniodawcy:

NetWorks Sp. z o.o.

4. Zakres zlecenia:

Wykonanie badania i opracowanie sprawozdania z pomiarów natężenia pola elektrycznego i pola magnetycznego dla instalacji radiokomunikacyjnej T-Mobile Polska S.A. zlokalizowanej w miejscowości RADLIN, WOJCIECHA KORFANTEGO 4.

5. Cel zlecenia:

Wykonanie pomiarów pól elektromagnetycznych w otoczeniu instalacji radiokomunikacyjnej 50693 (35693N!) KRY_RADLIN_KORFANTEGO w odniesieniu do wymagań określonych w *Rozporządzeniu Ministra Klimatu z dnia 17 lutego 2020 r. w sprawie sposobów sprawdzania dotrzymania dopuszczalnych poziomów pól elektromagnetycznych w środowisku (Dz.U. 2022 poz. 2630)*.

6. Pomiary zostały wykonane przez:

██████████ ██████████
████████████████████

7. Informacje o źródłach pól elektromagnetycznych

7.1. Sposób identyfikacji badanych źródeł pól elektromagnetycznych

Identyfikacji źródeł i parametrów technicznych dokonano na podstawie analizy dokumentacji dotyczącej zlecenia oraz obserwacji miejsca wykonywania badań.

7.2. Opis miejsca zainstalowania anten i urządzeń technicznych. Opis obiektu badań i jego otoczenia

Instalacja radiokomunikacyjna zlokalizowana jest na dachu. Anteny zawieszono na maszcie usytowanym na dachu budynku. Urządzenia sterujące oraz zasilające zainstalowano w pomieszczeniu W budynku. Wokół instalacji znajdują się Budynki mieszkalne i usługowe.

Instalacja radiokomunikacyjna jest obiektem bezobsługowym. Okresowe stanowiska pracy związane są z prowadzonymi w zależności od potrzeb konserwacjami, przeglądami, strojeniem i naprawami.

7.3. Parametry techniczne źródła pola elektromagnetycznego

Dane przedstawiające maksymalne parametry pracy instalacji przekazane przez zleceniodawcę:

Parametry systemu nadawczo-odbiorczego:

Charakterystyka promieniowania		Kierunkowa					
Rzeczywisty czas pracy [h/dobę]		24					
Warunki pracy		Znamionowe					
Rodzaj wytwarzanego pola		Stacjonarne					
Lp.	Częstotliwość lub zakresy częstotliwości pracy [MHz]	Typ/producent anteny	liczba anten	Azymut [°]	kąt pochylenia [°]	Wysokość środka elektrycznego anteny [m n.p.t.]	Równoważna moc promieniowana izotropowo (EIRP) [W]
1	800/900/1800/2100/2600	ASI4518R39v07 Huawei	1	90	2-12**/2-12**/2-12**/ 2-12**/2-12**	26.2	32627
2	3600	AAU5339W Huawei	1	90	-2-13**	26.2	57572
3	800/900/1800/2100/2600	ASI4518R39v07 Huawei	1	210	2-12**/2-12**/2-12**/ 2-12**/2-12**	26.2	32627
4	3600	AAU5339W Huawei	1	210	-2-13**	26.2	57572
5	800/900/1800/2100/2600	ASI4518R39v07 Huawei	1	320	2-12**/2-12**/2-12**/ 2-12**/2-12**	26.2	32627
6	3600	AAU5339W Huawei	1	320	-2-13**	26.2	57572

* wskazane wartości kąta pochylenia anten, zgodnie z informacją uzyskaną od zleceniodawcy, są wartościami stałymi
 ** pomiary wykonano zgodnie z pkt 13., ppkt 2 załącznika do Rozporządzenia Ministra Klimatu z dnia 17 lutego 2020 r. (Dz. U. 2022, poz. 2630).

Transmisja realizowana drogą kablową

7.4 Inne źródła pól elektromagnetycznych

Na podstawie informacji otrzymanych od użytkownika oraz obserwacji otoczenia miejsca wykonywania pomiarów nie stwierdzono występowania innych źródeł pola-EM.

8. Opis pomiarów

8.1. Metoda badań

Zgodna z rozporządzeniem Ministra Klimatu z dnia 17 lutego 2020 r. w sprawie sposobów sprawdzania dotrzymania dopuszczalnych poziomów pól elektromagnetycznych w środowisku (Dz.U. 2022 poz. 2630), określona w pkt 25 ppkt 1 załącznika do niniejszego rozporządzenia.

8.2. Termin pomiarów i warunki środowiskowe

Podczas wykonywania pomiarów pól elektromagnetycznych nie występowały opady atmosferyczne. Wyniki pomiaru parametrów pogodowych przedstawia poniższa tabela:

Data [rrrr-mm-dd]	Godzina [hh:mm-hh:mm]	Warunki środowiskowe			
		Temperatura [°C]		Wilgotność względna [%]	
2025-10-22	11:50-13:50	Przed pomiarem	Po pomiarach	Przed pomiarem	Po pomiarach
		15.3	16.1	67.4	67.9

Przedstawione wyżej warunki środowiskowe, występujące podczas wykonywania pomiarów pól elektromagnetycznych, są zgodne ze specyfikacją techniczną użytego zestawu pomiarowego.

8.3. Warunki pracy urządzeń nadawczych

Podczas pomiarów w przypadku uzyskania wyniku pomiaru szerokopasmowego wykonanego zastosowaną metodą, dla zakresów częstotliwości od 10 MHz do 300 GHz, powiększonego o rozszerzoną niepewność pomiaru U dla współczynnika rozszerzenia $k = 2$ przekraczającego 70% najniższej dopuszczalnej wartości składowej elektrycznej lub magnetycznej pola dla objętych pomiarami zakresów częstotliwości, uwzględnia się poprawki pomiarowe przekazane przez zleceniodawcę, umożliwiające uwzględnienie maksymalnych parametrów pracy instalacji zgodnie z pkt 7 załącznika do Rozporządzeniem Ministra Klimatu z dnia 17 lutego 2020 r. w sprawie sposobów sprawdzania dotrzymania dopuszczalnych poziomów pól elektromagnetycznych w środowisku (Dz. U. 2022, poz. 2630) zaznaczając, że wymagane jest wykonanie pomiaru z wykorzystaniem miernika selektywnego. W przypadku uzyskania wyniku pomiaru szerokopasmowego wykonanego zastosowaną metodą, dla zakresów częstotliwości od 10 MHz do 300 GHz, powiększonego o rozszerzoną niepewność pomiaru U dla współczynnika rozszerzenia $k = 2$ nieprzekraczającego 70% najniższej dopuszczalnej wartości składowej elektrycznej lub magnetycznej pola dla objętych pomiarami zakresów częstotliwości, nie uwzględnia się poprawek pomiarowych.

8.4. Wyposażenie pomiarowe

Zestaw pomiarowy służący do pomiaru natężenia składowej elektrycznej pola elektromagnetycznego złożony z szerokopasmowego miernika i sondy pomiarowej:

Oznaczenie miernika	Producent	Model	Numer fabryczny	Oznaczenie sondy	Producent	Model	Numer fabryczny
MW-09	Wavecontrol	Miernik pól elektromagnetycznych SMP3	23SL0221	SW-17	Wavecontrol	Sonda WPF90	23WP260005

Mierniki natężenia pola elektromagnetycznego podlegają okresowemu sprawdzeniu zgodnie z procedurą wewnętrzną P-03 i PB-01. Świadectwo wzorcowania zestawu pomiarowego z dnia 8 września 2025 o numerze LWIMP/W/328/25 wydane przez Politechnika Wrocławską. Data ważności świadectwa wzorcowania: 7 września 2027 (zgodnie z procedurą wewnętrzną P-03).

Termohigrometr:

Oznaczenie:	TH-32	Producent:	TESTO	Model:	Termohigrometr TESTO 625
-------------	-------	------------	-------	--------	--------------------------

Data ważności świadectwa wzorcowania: 20 lutego 2028 (zgodnie z procedurą wewnętrzną P-03).

Dalmierz:

Oznaczenie	Producent	Typ	Numer seryjny	Nr świadectwa wzorcowania	Data świadectwa wzorcowania
D-12	Leica	Dalmierz Leica Disto D510	1050632837	4665.2-M11-4180-1748/15	27 listopada 2015

Data ważności świadectwa wzorcowania: 27 listopada 2025 (zgodnie z procedurą wewnętrzną P-03).

Odbiornik GNSS:

Odbiornik GNSS wbudowany w miernik natężenia pola elektromagnetycznego użyty podczas pomiarów	Producent	Model
	UBlox	MAX-M8Q

Odbiorniki podlegają okresowemu sprawdzeniu zgodnie z procedurą wewnętrzną P-03.

9. Wyniki pomiarów Pole elektryczne

Nr pionu	Opis umiejscowienia pionu (punktu) pomiarowego	Wysokość pomiaru [m]	Zmierzona wartość natężenia pola elektrycznego E [V/m] ^{1,5}	Wartość natężenia pola elektrycznego powiększona o niepewność pomiaru ⁴ E [V/m]	Wskaźnikowa wartość poziomu emisji pól elektromagnetycznych WME ³	Współrzędne geograficzne pionu (punktu) pomiarowego ²
1	DPP budynek usługowy ul. Korfańtego 4 otwarte okno na klatce schodowej piętro 2z2	0.3-2.0	<1.0*	1.3	0.05	50°2'58.6" 18°28'28.6"
2	DPP budynek usługowy ul. Korfańtego 4 pośrodku otwartego okna pokoju biurowego piętro 1z1	0.3-2.0	<1.0*	1.3	0.05	50°2'59.3" 18°28'26.4"
3	DPP budynek ul. Korfańtego 2 otwarte okno na klatce schodowej piętro 4 z4	0.3-2.0	<1.0*	1.3	0.05	50°2'60.0" 18°28'25.7"
4	GKP w odległości poziomej 51m od anteny sektorowej az. 320°	2.0	1.5	1.9	0.07	50°2'60.0" 18°28'26.8"
5	GKP w odległości poziomej 92m od anteny sektorowej az. 320°	2.0	1.9	2.4	0.09	50°3'1.1" 18°28'25.7"
-	GKP w odległości poziomej 238m od anteny sektorowej az. 320°	2.0	1.2	1.5	0.05	50°3'4.7" 18°28'20.6"
7	DPP budynek parterowy ul. Korfańtego 3 Alior Bank pomiar wewnątrz budynku	0.3-2.0	<1.0*	1.3	0.05	50°3'0.7" 18°28'27.8"
8	DPP budynek parterowy ul. Korfańtego 3 punkt lotto pomiar wewnątrz budynku	0.3-2.0	<1.0*	1.3	0.05	50°3'0.4" 18°28'28.6"
9	DPP - Budynek parterowy wewnątrz budynku parterowego Ul. Korfańtego 3	0.3-2.0	<1.0*	1.3	0.05	50°2'60.0" 18°28'29.6"
10	DPP - Budynek parterowy wewnątrz budynku parterowego Ul. Korfańtego 3	0.3-2.0	<1.0*	1.3	0.05	50°2'59.6" 18°28'30.0"
11	DPP - Budynek parterowy wewnątrz budynku parterowego Ul. Korfańtego 5 Bank	0.3-2.0	<1.0*	1.3	0.05	50°2'59.6" 18°28'30.7"
12	DPP - Budynek parterowy wewnątrz budynku parterowego Ul. Korfańtego 5 Apteka	0.3-2.0	<1.0*	1.3	0.05	50°2'59.3" 18°28'31.4"
13	GKP w odległości poziomej 124m od anteny sektorowej az. 320°	2.0	2.0	2.6	0.09	50°3'1.8" 18°28'24.6"
14	GKP w odległości poziomej 19m od anteny sektorowej az. 90°	2.0	1.3	1.7	0.06	50°2'58.9" 18°28'29.6"
15	GKP w odległości poziomej 65m od anteny sektorowej az. 90°	2.0	1.3	1.7	0.06	50°2'58.9" 18°28'31.8"
16	DPP - za trwale zamkniętym oknem biura, piętro 1, Wojciecha Korfańtego 5b, Radlin	0.3-2.0	<1.0*	1.3	0.05	50°2'58.6" 18°28'33.6"
-	DPP - za trwale zamkniętym oknem Pokój nauczycielski przedszkola, piętro 2, Mariacka 1, Radlin	2.0	2.5	3.2	0.11	50°2'58.9" 18°28'34.7"
-	GKP w odległości poziomej 117m od anteny sektorowej az. 90°	0.3-2.0	<1.0*	1.3	0.05	50°2'58.9" 18°28'34.3"
-	GKP w odległości poziomej 269m od anteny sektorowej az. 90°	2.0	1.5	1.9	0.07	50°2'58.9" 18°28'41.9"
20	DPP - Na wejściu do domu piętrowego Ul. Wojciecha Korfańtego 8	0.3-2.0	<1.0*	1.3	0.05	50°2'58.2" 18°28'29.6"
21	DPP - w płaszczyźnie otworu okiennego mieszkania 10, piętro 4, Piotra Ściegiennego 33, Radlin	2.0	3.0	3.8	0.14	50°2'57.8" 18°28'28.2"
22	DPP - w płaszczyźnie otworu okiennego mieszkania 5, piętro 2/4, ks. Piotra Ściegiennego 31, Radlin	2.0	1.8	2.3	0.08	50°2'57.5" 18°28'27.8"
23	DPP - na balkonie mieszkania 7, piętro 3/4, Piotra Ściegiennego 25, Radlin	2.0	2.2	2.8	0.1	50°2'58.2" 18°28'27.1"
24	DPP budynek mieszkalny ul. Ściegiennego 23 mieszkania 9 pośrodku balkonu piętro 4z4	2.0	6.1	7.8	0.28	50°2'57.8" 18°28'26.4"
25	DPP budynek mieszkalny ul. Ściegiennego 23 mieszkania 10 pośrodku balkonu piętro 4z4	2.0	5.9	7.6	0.27	50°2'57.8" 18°28'26.8"
26	DPP budynek mieszkalny ul. Ściegiennego 23/1 pośrodku balkonu parter budynku	2.0	1.4	1.8	0.06	50°2'56.4" 18°28'25.7"
27	GKP w odległości poziomej 18m od anteny sektorowej az. 210°	2.0	1.9	2.4	0.09	50°2'58.2" 18°28'27.8"

Sprawozdanie z badań bez pisemnej zgody laboratorium nie może być powielane inaczej niż w całości.
 Wynik przedstawione w niniejszym sprawozdaniu odnoszą się wyłącznie do badanego obiektu i do warunków i konfiguracji urządzeń w dniu wykonywania pomiarów.

28	GKP w odległości poziomej 67m od anteny sektorowej az. 210°	2.0	2.0	2.6	0.09	50°2'56.8" 18°28'26.8"
29	GKP w odległości poziomej 123m od anteny sektorowej az. 210°	2.0	1.6	2.1	0.07	50°2'55.3" 18°28'25.3"
-	GKP w odległości poziomej 194m od anteny sektorowej az. 210°	0.3-2.0	<1.0*	1.3	0.05	50°2'53.5" 18°28'23.5"
31	PKP na az. 335° w odległości poziomej 57m od anteny sektorowej az. 320°	2.0	1.8	2.3	0.08	50°3'0.4" 18°28'27.1"
32	PKP na az. 350° w odległości poziomej 30m od anteny sektorowej az. 320°	0.3-2.0	<1.0*	1.3	0.05	50°2'59.6" 18°28'28.2"
33	PKP na az. 6° w odległości poziomej 37m od anteny sektorowej az. 320°	2.0	1.5	1.9	0.07	50°2'60.0" 18°28'28.6"
34	PKP na az. 44° w odległości poziomej 34m od anteny sektorowej az. 90°	2.0	1.8	2.3	0.08	50°2'59.6" 18°28'29.6"
35	PKP na az. 60° w odległości poziomej 25m od anteny sektorowej az. 90°	0.3-2.0	<1.0*	1.3	0.05	50°2'59.3" 18°28'29.6"
36	PKP na az. 75° w odległości poziomej 47m od anteny sektorowej az. 90°	2.0	1.6	2.1	0.07	50°2'59.3" 18°28'30.7"
37	PKP na az. 105° w odległości poziomej 30m od anteny sektorowej az. 90°	0.3-2.0	<1.0*	1.3	0.05	50°2'58.6" 18°28'30.0"
38	PKP na az. 120° w odległości poziomej 31m od anteny sektorowej az. 90°	2.0	1.5	1.9	0.07	50°2'58.2" 18°28'30.0"
39	PKP na az. 136° w odległości poziomej 28m od anteny sektorowej az. 90°	0.3-2.0	<1.0*	1.3	0.05	50°2'58.2" 18°28'29.6"
40	PKP na az. 164° w odległości poziomej 31m od anteny sektorowej az. 210°	2.0	1.5	1.9	0.07	50°2'57.8" 18°28'28.9"
41	PKP na az. 180° w odległości poziomej 20m od anteny sektorowej az. 210°	2.0	1.3	1.7	0.06	50°2'58.2" 18°28'28.6"
42	PKP na az. 225° w odległości poziomej 32m od anteny sektorowej az. 210°	2.0	1.5	1.9	0.07	50°2'58.2" 18°28'27.5"
43	PKP na az. 256° w odległości poziomej 28m od anteny sektorowej az. 210°	2.0	1.4	1.8	0.06	50°2'58.6" 18°28'27.1"
44	PKP na az. 274° w odległości poziomej 30m od anteny sektorowej az. 320°	0.3-2.0	<1.0*	1.3	0.05	50°2'58.9" 18°28'27.1"
45	PKP na az. 290° w odległości poziomej 56m od anteny sektorowej az. 320°	0.3-2.0	<1.0*	1.3	0.05	50°2'59.3" 18°28'25.7"
46	PKP na az. 305° w odległości poziomej 58m od anteny sektorowej az. 320°	0.3-2.0	<1.0*	1.3	0.05	50°2'60.0" 18°28'26.0"

Pole magnetyczne (wyznaczone na podstawie pomiaru wartości natężenia pola elektrycznego)

Nr pionu	Opis umiejscowienia pionu (punktu) pomiarowego	Wysokość pomiaru [m]	Wartość natężenia pola magnetycznego H [A/m] ¹	Wartość natężenia pola magnetycznego powiększona o niepewność pomiaru ⁴ H [A/m]	Wskaźnikowa wartość poziomu emisji pól elektromagnetycznych WM _H ³	Współrzędne geograficzne pionu (punktu) pomiarowego ²
1	DPP budynek usługowy ul. Korfantego 4 otwarte okno na klatce schodowej piętro 2z2	0.3-2.0	<0.003*	0.003	0.05	50°2'58.6" 18°28'28.6"
2	DPP budynek usługowy ul. Korfantego 4 pośrodku otwartego okna pokoju biurowego piętro 1z1	0.3-2.0	<0.003*	0.003	0.05	50°2'59.3" 18°28'26.4"
3	DPP budynek ul. Korfantego 2 otwarte okno na klatce schodowej piętro 4 z4	0.3-2.0	<0.003*	0.003	0.05	50°2'60.0" 18°28'25.7"
4	GKP w odległości poziomej 51m od anteny sektorowej az. 320°	2.0	0.004	0.005	0.07	50°2'60.0" 18°28'26.8"
5	GKP w odległości poziomej 92m od anteny sektorowej az. 320°	2.0	0.005	0.006	0.09	50°3'1.1" 18°28'25.7"
-	GKP w odległości poziomej 238m od anteny sektorowej az. 320°	2.0	0.003	0.004	0.06	50°3'4.7" 18°28'20.6"
7	DPP budynek parterowy ul. Korfantego 3 Alior Bank pomiar wewnątrz budynku	0.3-2.0	<0.003*	0.003	0.05	50°3'0.7" 18°28'27.8"
8	DPP budynek parterowy ul. Korfantego 3 punkt lotto pomiar wewnątrz budynku	0.3-2.0	<0.003*	0.003	0.05	50°3'0.4" 18°28'28.6"
9	DPP - Budynek parterowy wewnątrz budynku parterowego Ul. Korfantego 3	0.3-2.0	<0.003*	0.003	0.05	50°2'60.0" 18°28'29.6"
10	DPP - Budynek parterowy wewnątrz budynku parterowego Ul. Korfantego 3	0.3-2.0	<0.003*	0.003	0.05	50°2'59.6" 18°28'30.0"
11	DPP - Budynek parterowy wewnątrz budynku parterowego Ul. Korfantego 5 Bank	0.3-2.0	<0.003*	0.003	0.05	50°2'59.6" 18°28'30.7"
12	DPP - Budynek parterowy wewnątrz budynku parterowego Ul. Korfantego 5 Apteka	0.3-2.0	<0.003*	0.003	0.05	50°2'59.3" 18°28'31.4"

Sprawozdanie z badań bez pisemnej zgody laboratorium nie może być powielane inaczej niż w całości.
 Wynik przedstawione w niniejszym sprawozdaniu odnoszą się wyłącznie do badanego obiektu i do warunków i konfiguracji urządzeń w dniu wykonywania pomiarów.

13	GKP w odległości poziomej 124m od anteny sektorowej az. 320°	2.0	0.005	0.007	0.09	50°3'1.8" 18°28'24.6"
14	GKP w odległości poziomej 19m od anteny sektorowej az. 90°	2.0	0.003	0.004	0.06	50°2'58.9" 18°28'29.6"
15	GKP w odległości poziomej 65m od anteny sektorowej az. 90°	2.0	0.003	0.004	0.06	50°2'58.9" 18°28'31.8"
16	DPP - za trwale zamkniętym oknem biura, piętro 1, Wojciecha Korfantego 5b, Radlin	0.3-2.0	<0.003*	0.003	0.05	50°2'58.6" 18°28'33.6"
-	DPP - za trwale zamkniętym oknem Pokój nauczycielski przedszkola, piętro 2, Mariacka 1, Radlin	2.0	0.007	0.009	0.12	50°2'58.9" 18°28'34.7"
-	GKP w odległości poziomej 117m od anteny sektorowej az. 90°	0.3-2.0	<0.003*	0.003	0.05	50°2'58.9" 18°28'34.3"
-	GKP w odległości poziomej 269m od anteny sektorowej az. 90°	2.0	0.004	0.005	0.07	50°2'58.9" 18°28'41.9"
20	DPP - Na wejściu do domu piętrowego Ul. Wojciecha Korfantego 8	0.3-2.0	<0.003*	0.003	0.05	50°2'58.2" 18°28'29.6"
21	DPP - w płaszczyźnie otworu okiennego mieszkania 10, piętro 4, Piotra Ściegiennego 33, Radlin	2.0	0.008	0.01	0.14	50°2'57.8" 18°28'28.2"
22	DPP - w płaszczyźnie otworu okiennego mieszkania 5, piętro 2/4, ks. Piotra Ściegiennego 31, Radlin	2.0	0.005	0.006	0.08	50°2'57.5" 18°28'27.8"
23	DPP - na balkonie mieszkania 7, piętro 3/4, Piotra Ściegiennego 25, Radlin	2.0	0.006	0.007	0.1	50°2'58.2" 18°28'27.1"
24	DPP budynek mieszkalny ul. Ściegiennego 23 mieszkania 9 pośrodku balkonu piętro 4z4	2.0	0.016	0.021	0.28	50°2'57.8" 18°28'26.4"
25	DPP budynek mieszkalny ul. Ściegiennego 23 mieszkania 10 pośrodku balkonu piętro 4z4	2.0	0.016	0.02	0.28	50°2'57.8" 18°28'26.8"
26	DPP budynek mieszkalny ul. Ściegiennego 23/1 pośrodku balkonu parter budynku	2.0	0.004	0.005	0.07	50°2'56.4" 18°28'25.7"
27	GKP w odległości poziomej 18m od anteny sektorowej az. 210°	2.0	0.005	0.006	0.09	50°2'58.2" 18°28'27.8"
28	GKP w odległości poziomej 67m od anteny sektorowej az. 210°	2.0	0.005	0.007	0.09	50°2'56.8" 18°28'26.8"
29	GKP w odległości poziomej 123m od anteny sektorowej az. 210°	2.0	0.004	0.005	0.07	50°2'55.3" 18°28'25.3"
-	GKP w odległości poziomej 194m od anteny sektorowej az. 210°	0.3-2.0	<0.003*	0.003	0.05	50°2'53.5" 18°28'23.5"
31	PKP na az. 335° w odległości poziomej 57m od anteny sektorowej az. 320°	2.0	0.005	0.006	0.08	50°3'0.4" 18°28'27.1"
32	PKP na az. 350° w odległości poziomej 30m od anteny sektorowej az. 320°	0.3-2.0	<0.003*	0.003	0.05	50°2'59.6" 18°28'28.2"
33	PKP na az. 6° w odległości poziomej 37m od anteny sektorowej az. 320°	2.0	0.004	0.005	0.07	50°2'60.0" 18°28'28.6"
34	PKP na az. 44° w odległości poziomej 34m od anteny sektorowej az. 90°	2.0	0.005	0.006	0.08	50°2'59.6" 18°28'29.6"
35	PKP na az. 60° w odległości poziomej 25m od anteny sektorowej az. 90°	0.3-2.0	<0.003*	0.003	0.05	50°2'59.3" 18°28'29.6"
36	PKP na az. 75° w odległości poziomej 47m od anteny sektorowej az. 90°	2.0	0.004	0.005	0.07	50°2'59.3" 18°28'30.7"
37	PKP na az. 105° w odległości poziomej 30m od anteny sektorowej az. 90°	0.3-2.0	<0.003*	0.003	0.05	50°2'58.6" 18°28'30.0"
38	PKP na az. 120° w odległości poziomej 31m od anteny sektorowej az. 90°	2.0	0.004	0.005	0.07	50°2'58.2" 18°28'30.0"
39	PKP na az. 136° w odległości poziomej 28m od anteny sektorowej az. 90°	0.3-2.0	<0.003*	0.003	0.05	50°2'58.2" 18°28'29.6"
40	PKP na az. 164° w odległości poziomej 31m od anteny sektorowej az. 210°	2.0	0.004	0.005	0.07	50°2'57.8" 18°28'28.9"
41	PKP na az. 180° w odległości poziomej 20m od anteny sektorowej az. 210°	2.0	0.003	0.004	0.06	50°2'58.2" 18°28'28.6"
42	PKP na az. 225° w odległości poziomej 32m od anteny sektorowej az. 210°	2.0	0.004	0.005	0.07	50°2'58.2" 18°28'27.5"
43	PKP na az. 256° w odległości poziomej 28m od anteny sektorowej az. 210°	2.0	0.004	0.005	0.07	50°2'58.6" 18°28'27.1"
44	PKP na az. 274° w odległości poziomej 30m od anteny sektorowej az. 320°	0.3-2.0	<0.003*	0.003	0.05	50°2'58.9" 18°28'27.1"
45	PKP na az. 290° w odległości poziomej 56m od anteny sektorowej az. 320°	0.3-2.0	<0.003*	0.003	0.05	50°2'59.3" 18°28'25.7"
46	PKP na az. 305° w odległości poziomej 58m od anteny sektorowej az. 320°	0.3-2.0	<0.003*	0.003	0.05	50°2'60.0" 18°28'26.0"

Sprawozdanie z badań bez pisemnej zgody laboratorium nie może być powielane inaczej niż w całości.
 Wynik przedstawione w niniejszym sprawozdaniu odnoszą się wyłącznie do badanego obiektu i do warunków i konfiguracji urządzeń w dniu wykonywania pomiarów.

GKP – Główny Kierunek Pomiarowy
DPP – Dodatkowy Pion Pomiarowy
PKP – Pomocniczy Kierunek Pomiarowy

¹ wyniki oznaczone * są wynikami poniżej czułości zestawu pomiarowego i są wynikami spoza zakresu akredytacji. Do obliczenia wyniku skorygowanego przyjęto wartość skorelowaną z rzeczywistym wynikiem pomiaru - dolną granicę akredytowanego zakresu pomiarowego metody

² współrzędne geograficzne pozyskane metodą pomiaru bezpośredniego

³ do wyznaczenia wartości wskaźnikowej W_{ME} i W_{MH} przyjęto na podstawie uzgodnień z klientem oraz rozpoznania źródeł, jako wartości dopuszczalne pola elektrycznego i magnetycznego odpowiednio 28 V/m i 0,073 A/m.

⁴ do wyznaczenia niepewności dla wyników poniżej czułości zestawu pomiarowego, przyjęto niepewność dla minimalnej wartości z zakresu pomiarowego.

⁵ maksymalna wartość chwilowa

Niepewność oszacowano zgodnie z dokumentem P-03 „Procedura nadzoru nad wyposażeniem” w postaci niepewności rozszerzonej wynikającej z niepewności standardowej pomnożonej przez współczynnik rozszerzenia $k=2$.

Całkowita szacowana niepewność rozszerzona składowej E wynosi odpowiednio: 28.3% dla częstotliwości do 4 GHz

Pomiarów nie wykonano:

Oznaczenie braku dostępu	Opis umiejscowienia
A	W budynku mieszkalnym pod adresem Ul. Korfantego 2 lokal 10, z powodu braku zgody właściciela na wykonanie pomiaru
B	W budynku mieszkalnym pod adresem Ul. Korfantego 1, z powodu braku mieszkańców
C	W mieszkaniach nr 6, 7, 8, 9, 10 pod adresem Ul. Piotra Ściegiennego 31, z powodu braku mieszkańców
D	W budynku mieszkalnym pod adresem Ul. Ściegiennego 29 mieszkanie 10 brak lokatora, mieszkanie 9 brak zgody, z powodu braku zgody właściciela na wykonanie pomiaru
E	W mieszkaniach nr 8, 9, 10 pod adresem Ul. Piotra Ściegiennego 25, z powodu braku mieszkańców

W miejscach, w których nie udało się przeprowadzić pomiarów z powodu nieobecności mieszkańców, Laboratorium Badań Środowiskowych NetWorks podejmie próbę ich wykonania podczas kolejnych badań poziomu pól elektromagnetycznych prowadzonych na potrzeby ochrony środowiska.

Umiejscowienie pionów (punktów) pomiarowych przedstawiono w załączniku nr 2 do niniejszego sprawozdania.

Pomiary wykonano na terenach przeznaczonych pod zabudowę mieszkaniową w obszarze pomiarowym, w którym na podstawie uprzednio przeprowadzonych obliczeń, stwierdzono występowanie w danych zakresach częstotliwości pól elektromagnetycznych o poziomach zbliżonych do poziomów dopuszczalnych, określonych w przepisach wydanych na podstawie art. 122 ust. 1 ustawy z dnia 27 kwietnia 2001 r. – Prawo ochrony środowiska.

10. Omówienie wyników pomiarów

W związku z tym, że żadna z wartości zmierzonych, udokumentowanych w tabelach w pkt. 9, uzyskanych w skutek zastosowania pomiaru szerokopasmowego, powiększonego o rozszerzoną niepewność pomiaru U dla współczynnika rozszerzenia $k = 2$ nie przekroczyła 70% najniższej dopuszczalnej wartości składowej elektrycznej lub magnetycznej pola dla objętych pomiarami zakresów częstotliwości, nie uwzględnia się poprawek pomiarowych.

W wyniku zastosowania sposobu sprawdzenia dotrzymania dopuszczalnych poziomów pól elektromagnetycznych w środowisku, zgodnie pkt 25 ppkt 1 Rozporządzenia Ministra Klimatu z dnia 17 lutego 2020 r. (Dz. U. 2022, poz. 2630), w związku z tym, że żadna z wartości wskaźnikowych, udokumentowanych w tabelach w pkt. 9 nie przekracza wartości 1, stwierdza się, że w miejscach, w których wykonano pomiary w otoczeniu instalacji radiokomunikacyjnej 50693 (35693N!) KRY_RADLIN_KORFANTEGO, dopuszczalne poziomy pól elektromagnetycznych w środowisku należy uznać za dotrzymane.

Miejsca niedostępne podczas wykonywania pomiarów wskazane zostały w pkt. 9 (Wyniki pomiarów) lub na załączniku przedstawiającym usytuowanie pionów pomiarowych

11. Podstawa prawna

- 1) Ustawa z dnia 27 kwietnia 2001 r. Prawo ochrony środowiska (T. j. Dz. U. z 2025 r., poz. 647 z późn. zm.)
- 2) Rozporządzenie Ministra Zdrowia z dnia 17 grudnia 2019 r. w sprawie dopuszczalnych poziomów pól elektromagnetycznych w środowisku (Dz. U. 2019, poz. 2448)
- 3) Rozporządzenie Ministra Klimatu z dnia 17 lutego 2020 r. w sprawie sposobów sprawdzania dotrzymania dopuszczalnych poziomów pól elektromagnetycznych w środowisku (Dz. U. 2022, poz. 2630),
- 4) Akredytacja nr AB 419 wydana przez Polskie Centrum Akredytacji (wydanie 23, z dnia 5 marca 2024 r.)

12. Spis załączników

- Załącznik 1. Lokalizacja obiektu badań
- Załącznik 2. Usytuowanie pionów (punktów) pomiarowych
- Załącznik 3. Dokumentacja fotograficzna obiektu badań

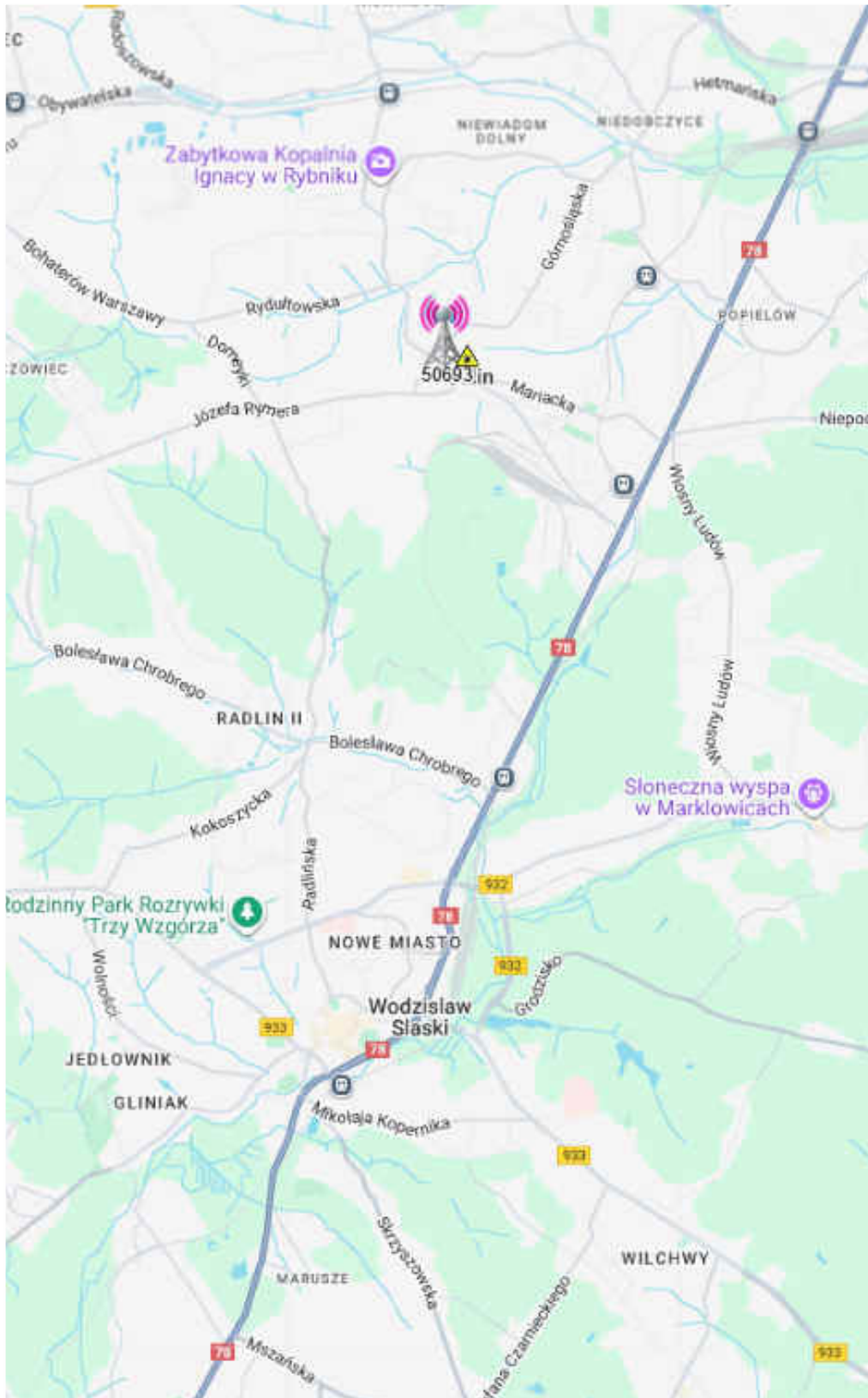
13. Data wydania i autoryzowania sprawozdania

Obliczenia i sprawozdanie wykonał :

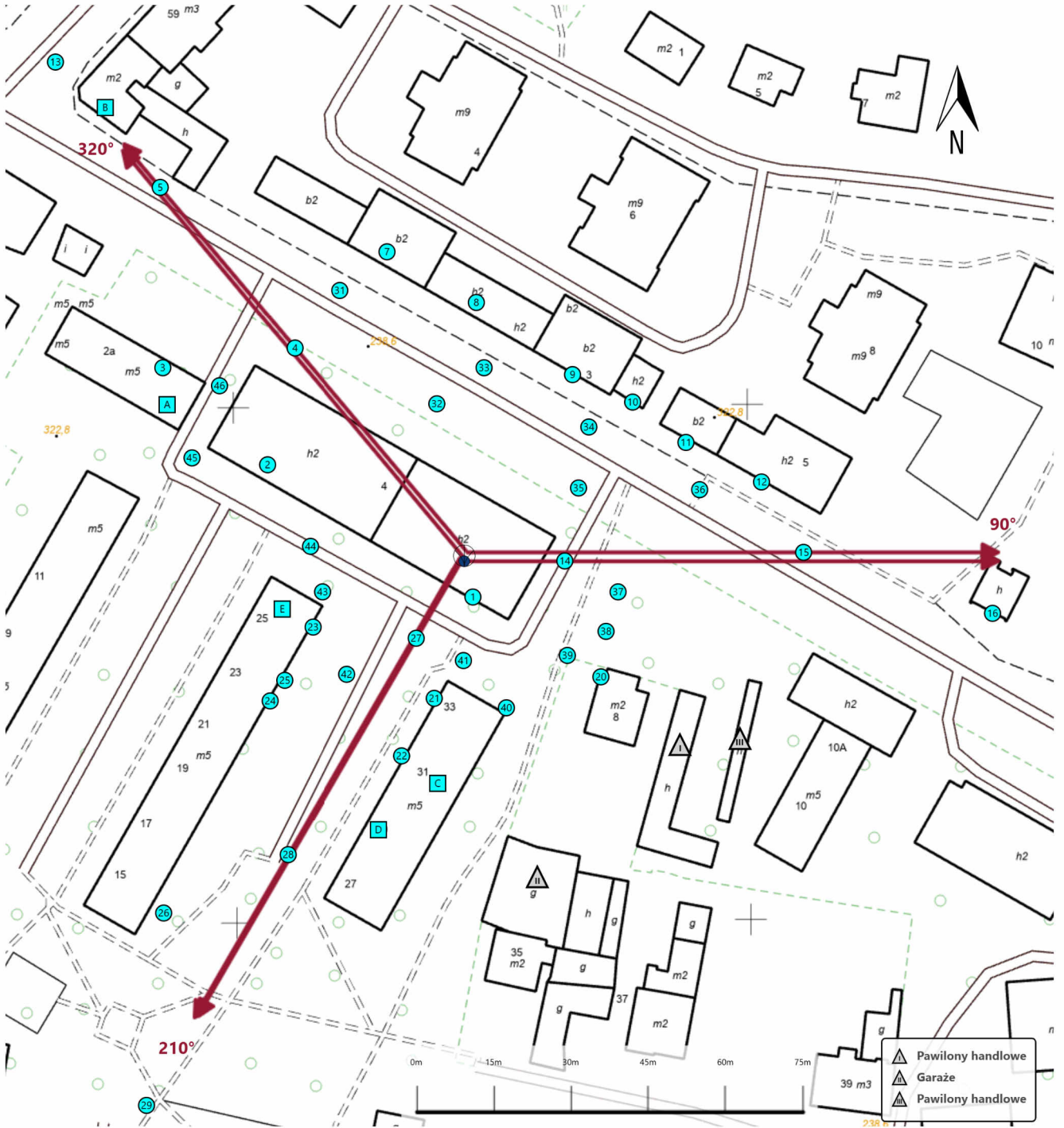
Sprawozdanie autoryzował:






Koniec sprawozdania

Sprawozdanie z badań bez pisemnej zgody laboratorium nie może być powielane inaczej niż w całości.
Wynik przedstawione w niniejszym sprawozdaniu odnoszą się wyłącznie do badanego obiektu i do warunków i konfiguracji urządzeń w dniu wykonywania pomiarów.



Załącznik nr 1	Instalacja radiokomunikacyjna T-Mobile Polska S.A. 50693 (35693N!) KRY_RADLIN_KORFANTEGO Lokalizacja instalacji
----------------	---



Załącznik nr 2	<p style="text-align: center;">Instalacja radiokomunikacyjna T-Mobile Polska S.A. KRY_RADLIN_KORFANTEGO (35693N!)</p> <p style="text-align: center;">Usytuowanie pionów pomiarowych w otoczeniu instalacji radiokomunikacyjnej</p>
Legenda:	<div style="display: flex; justify-content: space-around; align-items: center;"> <div style="text-align: center;">  Źródło pola elektromagnetycznego </div> <div style="text-align: center;">  Brak dostępu </div> <div style="text-align: center;">  Pion pomiarowy </div> <div style="text-align: center;">  Kierunek oddziaływania anten sektorowych </div> <div style="text-align: center;">  Kierunek oddziaływania anten radioliniowych </div> </div>



Załącznik nr 3

Instalacja radiokomunikacyjna T-Mobile Polska S.A.
50693 (35693N!) KRY_RADLIN_KORFANTEGO

Dokumentacja fotograficzna